



Shahid Bahonar
University of Kerman

Agricultural Biotechnology Journal

p-ISSN 2228-6705

e-ISSN 2228-6500



Iranian Biotechnology
Society

Study of genetic diversity and identification of informative molecular markers related to drought tolerance in foxtail millet [*Setaria italica* (L.) P. Beauv.]

(L.) P. Beauv.]

Akram Aminizadeh

Post graduate student of Plant Breeding Department, Shahid Bahonar University of Kerman, Kerman, Iran. Tel: +989135787820, Email: akram.aminizadeh@yahoo.com

Ghasem Mohammadi-Nejad

Associate Professor of Plant Breeding, Faculty of Agriculture & Research and Technology Institute of Plant Production (RTIPP), Shahid-Bahonar University of Kerman, Kerman, Iran. Tel: +989133415937, Email: Mohammadinejad@uk.ac.ir

Babak Nakhoda

*Corresponding Author: Assistant professor of molecular physiology research department, Agricultural Biotechnology Research Institute, Iran Agricultural Research, Education and Extension Organization, Karaj, Iran. Tel: +989123677137, Email: b.nakhoda@gmail.com

Abstract

Objective

Identification of associated markers with important agricultural traits is one of the most important methods for accelerating the transfer of desirable traits to other genotypes and their tracking. The aim of this research was to study the genetic diversity and identification of molecular markers related to drought tolerance traits in foxtail millet [*Setaria italica* (L.) P. Beauv.] genotypes using the AFLP molecular marker.

Materials and methods

In this study, 21 genotypes of foxtail millet were studied in three growing seasons (2013, 2014 & 2016). Drought tolerance indices and correlation between them with grain yield and biological yield were calculated. In order to identify molecular markers associated with drought tolerance traits, association analysis was performed by using the Mixed Linear Model (MLM) and 12 primer combinations of AFLP. Also, marker

indices and principal components analysis (PCA) were performed using GenAlEx 6.5 software

Results

The primer combinations used in this study generated a total of 443 scorable bands, of which 316 (71%) were polymorphic. The mean of polymorphism information content (PIC) was 0.24, the mean of Shannon index was 0.38, and the mean of Marker index was 6.22. Also, M-CTG/E-ACC, M-CAA/E-ACC and M-CTA/E-AAC were the most efficient combinations in investigating the diversity of genotypes studied. Based on the results of PCA, the first and second components justify 61.13 percent of the changes. The results of this study showed that HARM, GMP, and MP indices were the best indices for differentiation of drought tolerant samples, and M-CAA/E-AAC-14 and M-CTG/E-ACC-283 markers according to Grain yield and M-CTT/E-ACC-264 markers according to biological yield, were related to these indicators.

Conclusions

According to the results of this study, the HARM, GMP and MP indices could be considered as the best indicators for differentiation of drought tolerant foxtail millet samples. Also, molecular markers associated with these indices can be used to evaluate the drought tolerance of other genotypes in future breeding programs.

Keywords: AFLP Marker, Association analysis, foxtail millet, Tolerance indicator

Citation: Aminizadeh A, Mohammadi-Nejad G, Nakhoda B (2019) Study of Genetic Diversity and Identification of Informative Molecular Markers Related to Drought Tolerance in Foxtail Millet [*Setaria italica* (L.) P. Beauv.]. Agricultural Biotechnology Journal 11 (4),193-218.

Agricultural Biotechnology Journal 11 (4),193-218.

DOI: 10.22103/jab.2019.14384.1149

Received: August 1, 2019; Accepted: September 3, 2019

© Faculty of Agriculture, Shahid Bahonar University of Kerman-Iranian Biotechnology Society

مطالعه تنوع ژنتیکی و شناسایی نشانگرهای مولکولی مرتبط با صفات تحمل به خشکی در

ارزن دمروباہی [*Setaria italica* (L.) P. Beauv.]

اکرم امینی زاده

دانشجوی کارشناسی ارشد، بخش اصلاح نباتات دانشکده کشاورزی دانشگاه شهید باهنر کرمان، کرمان، ایران، تلفن:

akram.aminizadeh@yahoo.com، ایمیل: ۰۹۱۳۵۷۸۷۸۲۰

قاسم محمدی نژاد

دانشیار اصلاح نباتات، بخش اصلاح نباتات دانشکده کشاورزی و پژوهشکده فناوری تولیدات گیاهی، دانشگاه شهید باهنر کرمان،

کرمان، ایران، تلفن: ۰۹۱۳۳۴۱۵۹۳۷، ایمیل: Mohammadinejad@uk.ac.ir

بابک ناخدا

*نویسنده مسئول: عضو هیات علمی بخش تحقیقات فیزیولوژی مولکولی، پژوهشکده بیوتکنولوژی کشاورزی، سازمان تحقیقات،

آموزش و ترویج کشاورزی ایران، کرج، ایران، تلفن: ۰۹۱۲۳۶۷۷۱۳۷، ایمیل: b.nakhoda@gmail.com

تاریخ دریافت: ۱۳۹۸/۰۵/۱۰، تاریخ پذیرش: ۱۳۹۸/۰۶/۱۲

چکیده

هدف: شناسایی نشانگرهای پیوسته با صفات مهم زراعی یکی از مهم ترین روش‌ها برای تسریع انتقال صفات مطلوب به ژنتیپ-های دیگر و ردیابی آنهاست. هدف از این پژوهش، ارزیابی تنوع ژنتیکی و شناسایی نشانگرهای مولکولی اطلاع‌رسان مرتبط با صفات تحمل به خشکی در ژنتیپ‌های ارزن دمروباہی [*Setaria italica* (L.) P. Beauv.]، با استفاده از نشانگر مولکولی AFLP بود.

مواد و روش‌ها: در این مطالعه، ۲۱ ژنتیپ ارزن دمروباہی در سه سال زراعی ۹۲، ۹۳ و ۹۵ مورد آزمایش قرار گرفتند. شاخص-های تحمل به خشکی و همبستگی بین مقادیر آنها با عملکرد دانه و بیولوژیک محاسبه شد. به منظور شناسایی نشانگرهای مولکولی مرتبط با صفات تحمل به خشکی، از تجزیه ارتباطی با استفاده از مدل خطی مخلوط (MLM) و ۱۲ ترکیب آغازگری AFLP استفاده شد. همچنین شاخص‌های نشانگری و تجزیه به مولفه‌های اصلی نیز با استفاده از نرم‌افزار GenAlEx 6.5 انجام گرفت.

نتایج: ترکیبات آغازگری استفاده شده در این مطالعه در مجموع ۴۴۳ باند قابل تشخیص ایجاد کردند که از این تعداد ۳۱۶ (۷۱٪) باند چندشکل بودند. میانگین محتوای اطلاعات چند شکلی ۰/۲۴، میانگین شاخص شانون ۰/۳۸ و میانگین شاخص نشانگری ۶/۲۲ بدست آمد و ترکیب‌های M-CTA/E-AAC، M-CAA/E-ACC، M-CTG/E-ACC بررسی تنواع ژنتیکی مورد مطالعه بودند. براساس نتایج تجزیه به مولفه‌های اصلی، دو مولفه اول ۶۱/۱۳ درصد از تغییرات را توجیه کردند. نتایج این مطالعه نشان داد که شاخص‌های HARM، GMP و MP بهترین شاخص‌ها در تفکیک نمونه‌های متحمل به خشکی بودند و نشانگرهای M-CTG/E-ACC-283 و M-CAA/E-ACC-14 با توجه به عملکرد دانه و نشانگر M-CTT/E-ACC-264 با توجه به عملکرد بیولوژیک با این شاخص‌ها در ارتباط بودند.

نتیجه‌گیری: براساس نتایج این پژوهش می‌توان شاخص‌های HARM، GMP و MP را به عنوان بهترین شاخص‌ها در تفکیک نمونه‌های ارزن دمروباہی متحمل به خشکی، معرفی کرد. همچنین می‌توان از نشانگرهای مولکولی مرتبط با این شاخص‌ها برای بررسی تحمل به خشکی سایر ژنتیک‌ها در برنامه‌های اصلاحی آینده استفاده نمود.

واژه‌های کلیدی: ارزن دمروباہی، تجزیه ارتباطی، شاخص‌های تحمل به خشکی، نشانگر AFLP

مقدمه

ارزن دمروباہی [Setaria italica (L.) P. Beauv.] یکی از مهم‌ترین گونه‌های ارزن در رژیم غذایی برخی مردم دنیا است و همچنین نقش سیار مهمی را در برخی کشورهای توسعه‌یافته و پیشرفته در زمینه کشاورزی و غذا به دلیل قابلیت رشد در شرایط گرمای شدید و محدود بودن میزان بارندگی ایفا می‌کند (Upadhyayaa et al. 2011). ارزن دمروباہی به عنوان یک محصول دانه‌ای به طور گسترده در شمال چین و هند رشد می‌نماید. مواد مغذی ارزن مشابه و یا حتی بیشتر از سایر غلات مثل گندم و برنج است. دانه ارزن دمروباہی حاوی ۱۲/۳٪ پروتئین، ۷/۴٪ چربی و ۶۰/۶٪ کربوهیدرات است. محتوای پروتئین آن بیشتر از برنج و قابل قیاس با گندم است. مقدار چربی آن به ترتیب ۸ و ۳ برابر بیشتر از برنج و گندم می‌باشد. میزان مواد معدنی، ویتامین‌ها و اسید‌آمینه در دانه آن بالاست و دارای میزان بالایی از فیبرهای غذایی و پلی‌ساقاریدهای غیر نشاسته‌ای است. رشد سریع، تطابق بالا در نواحی گرمسیری، مقاومت نسبی در مقابل خشکی و شوری، درصد بالای پروتئین، پربرگی، خوش خوراکی و عدم وجود اسید پرووسیک، چهارکرینه بودن، توانایی تولید بالای آن در نواحی گرم و خشک و بالا بودن کارایی مصرف آب آن نسبت به گونه‌های سه کربنه، همگی باعث شده که به عنوان گیاه علوفه‌ای ایده آل برای کشت در نواحی گرم و خشک محسوب گردد (Kusaka et al. 2005).

تنش خشکی یکی از مهمترین فاکتورهای محدودکننده رشد و تولید گیاهان است که منجر به کاهش بیش از ۵۰ درصدی میانگین تولید اکثر محصولات در سرتار جهان می‌شود (Lata et al. 2011). اصلاح و توسعه کاشت گیاهان مقاوم به خشکی می‌تواند یک راهکار سودمند به منظور اجتناب از وارد آمدن خسارت تنش خشکی به گیاهان باشد (Vitkauskaitė & Venskaitytė 2011). به منظور انتخاب ژنوتیپ‌های متحمل به خشکی، شاخص‌های مختلفی بر اساس عملکرد در شرایط تنش و غیرتنش معرفی شد که می‌توانند به عنوان معیار مناسب جهت انتخاب ژنوتیپ در شرایط تنش مورد استفاده قرار گیرند. این شاخص‌ها عبارتند از: شاخص تحمل^۱ (TOL) که از اختلاف عملکرد در شرایط تنش و بدون تنش به دست می‌آید و مقادیر بیشتر آن نشان‌دهنده پایداری کمتر ژنوتیپ در محیط‌های مختلف است. شاخص حساسیت به تنش (SSI)، که مقادیر پایین آن نشان‌دهنده پایداری بیشتر در شرایط مختلف محیطی است. شاخص تحمل به تنش (STI^۲) معیار مناسبی برای انتخاب ژنوتیپ‌ها جهت دستیابی به عملکرد بالا تحت شرایط تنش می‌باشد. این شاخص، ژنوتیپ‌هایی که دارای عملکرد بالا در شرایط تنش و بدون تنش هستند را از سایر گروه‌ها جدا می‌کند. شاخص میانگین حسابی بهره‌وری (MP^۳) نیز به صورت متوسط جمع جبری عملکرد یک ژنوتیپ در شرایط تنش و بدون تنش تعریف می‌شود. شاخص دیگری که ارائه شد، میانگین هندسی بهره‌وری (GMP^۴) است. این شاخص در مقایسه با MP در تفکیک رقم‌ها از قدرت بالاتری برخوردار است (Fernandez 1992). همچنین شاخص پایداری عملکرد (YSI^۵), عملکرد یک رقم در شرایط تنش را نسبت به عملکرد غیرتنش ارزیابی می‌کند و می‌تواند شاخص مناسبی برای شناسایی ارقام متحمل به تنش باشد، بنابراین انتظار می‌رود ارقامی با YSI بالاتر عملکرد بیشتری در هر دو شرایط داشته باشند (Bouslama 1984). شاخص عملکرد (YI^۶) ارقام را فقط براساس عملکرد در شرایط تنش رتبه‌بندی می‌کند، بنابراین رقم‌های با عملکرد بالا در هر دو شرایط تنش و عدم تنش را تشخیص نمی‌دهد (Gavuzzi 1997).

موفقیت یک برنامه اصلاحی به طبیعت و یا حجم و تنوع موجود در مواد ژنتیکی بستگی دارد. وجود حداکثر تنوع، بزرگترین شانس برای نائل شدن به موفقیت در گزینش محسوب می‌شود (Mishra et al. 2007). برآورد تنوع ژنتیکی در گیاهان، نقش بسیار مهمی در پیشبرد برنامه‌های اصلاحی و ژنتیکی از جمله گروه‌بندی لاین‌ها و جمعیت‌ها، مطالعه تکامل خوبی‌شوندان وحشی، بهبود شجره‌ها، بررسی تغییرات فراوانی آل‌ها و حفاظت از منابع ژنتیکی دارد. همچنین آگاهی داشتن از تنوع

¹. Tolerance

². Stress Susceptibility Index

³. Stress Tolerance Index

⁴. Mean Productivity

⁵. Geometric Mean Productivity

⁶. Yield Stability Index

⁷. Yield Index

ژنتیکی در گونه‌های گیاهی برای انتخاب والدین مناسب در دورگ‌گیری‌ها و تولید نتاج مناسب اهمیت دارد (Mohammadi & Prasanna 2003). از این رو می‌توان گفت تنوع، اساساً اکثر برنامه‌های اصلاح نباتات می‌باشد. تکنیک‌های مبتنی بر نشانگرهای DNA قادر به شناسایی چندشکلی مربوط به تفاوت در توالی‌های DNA می‌باشد. این روش‌ها مکمل روش‌های کلاسیک ارزیابی تنوع هستند. مزیت عمدۀ آنها این است که تنوع را در سطح DNA مورد بررسی قرار داده و مستقل از شرایط محیطی می‌باشد (Rao 2004). مطالعه رابطه بین نشانگرهای مولکولی و صفات زراعی از اهمیت ویژه‌ای برخوردار است که دارای کاربردهای متعددی از جمله امکان بررسی پتانسیل ژنتیکی ژنوتیپ‌های خاص پیش از ارزیابی فنتوتیپی، شناسایی آللهای صفت مطلوب در مجموعه‌های ژرمپلاسم، تسهیل مکانیابی دقیق QTL‌ها و تایید ژن‌های کاندیدای مسئول صفات کمی می‌باشد (Gebhardt et al. 2004).

در سال‌های اخیر تحقیقاتی به منظور بررسی تنوع ژنتیکی و ارتباط نشانگرهای مولکولی با صفات مختلف زراعی در ارزن دمروباхи انجام شده است. در مطالعه‌ای تنوع ژنتیکی ۳ ژنوتیپ اهلی و ۶ ژنوتیپ وحشی ارزن در آمریکا و کانادا با استفاده از نشانگر AFLP بررسی شد. ۸ ترکیب آغازگری AFLP تعداد ۳۹ قطعه DNA پلی‌مورف را شناسایی کرد. تجزیه خوش‌های ارزن-ها را به دو گروه متمایز تقسیم‌بندی کرد که ۶ ژنوتیپ از ارزن‌های وحشی با ۳ ژنوتیپ ارزن اهلی در یک گروه و ۳ ژنوتیپ وحشی دیگر در گروه دیگر قرار گرفتند (Karam et al. 2004). در پژوهشی دیگر ۹۱۶ ژنوتیپ ارزن دمروباхи در ۵ محیط مختلف کشت و صفات مورفو‌ژئیکی آنها اندازه‌گیری شد. در این مطالعه با استفاده از نشانگر SNP، ۵۱۲ مکان ژنومی مرتبط با ۴۷ صفت زراعی شناسایی شد (Jia et al. 2013). همچنین در بررسی ارتباط بین شاخص‌ها و نشانگرهای مولکولی در برنج با استفاده از ۱۰ شاخص و ۱۸۹ مکان ژنی حاصل از ۳۶ جفت نشانگر SSR و ۱۴۴ مکان ژنی حاصل از ۱۰ جفت نشانگر ISSR بر روی ۵۹ ژنوتیپ برنج در شرایط تنش و بدون تنش، شاخص‌های SSI، GMP، MP، STI، HM و YI به عنوان شاخص‌های برتر در هر دو شرایط تنش و بدون تنش انتخاب شدند. براساس نتایج مولکولی در مجموع ۵۷ و ۴۴ نشانگر آگاهی‌بخش مرتبط با شاخص‌ها شناسایی شد که بیشترین توجیه تغییرات براساس داده‌های ریزماهواره مربوط به شاخص تحمل به تنش (STI) و بیشترین توجیه تغییرات براساس داده‌های بین ریزماهواره مربوط به شاخص عملکرد (YI) بود (Karim Koshte & Sabour 2017). به‌منظور شناسایی نشانگرهای مرتبط با شاخص‌های تحمل به خشکی در گندم نان (*Triticum aestivum*) در مطالعه‌ای از نشانگرهای SSR استفاده شد. ۱۸ نشانگر مورد استفاده، ۹۹ مکان در ۹۲ ژنوتیپ گندم نان تولید کردند. نشانگرهای UBC-867, is9, is11, is5 و is15 بیشترین ارتباط را با شاخص‌های تحمل به خشکی مورد بررسی نشان دادند (Yaghoutipour et al. 2019)، در مطالعه‌ای دیگر ارتباط بین نشانگرهای مولکولی با صفات مرتبط با تحمل به تنش غرقابی در جو بررسی شد. مطابق نتایج تجزیه ارتباطی در شرایط نرمال بالاترین ضریب تبیین به نشانگر E100-M160-27 مرتبط با تغییرات قطر ریشه و در شرایط تنش به

نشانگر E80-M150-22 مرتبط با شاخص GMP و نشانگر E100-M150-22 مرتبط با وزن خشک اندام هوایی اختصاص داشت (Heydari et al. 2013). هدف از این پژوهش، ارزیابی تنوع ژنتیکی و شناسایی نشانگرهای مولکولی اطلاع‌رسان مرتبط با صفات تحمل به خشکی در ۲۱ ژنوتیپ ارزن دمروباہی، با استفاده از نشانگر مولکولی AFLP است.

مواد و روش‌ها

این پژوهش در سه سال زراعی ۱۳۹۲، ۱۳۹۳ و ۱۳۹۵ در مزرعه تحقیقاتی دانشگاه شهید باهنر کرمان اجرا شد. این مزرعه با ارتفاع ۱۷۵۴ متر از سطح دریا و طول جغرافیایی ۵۶ درجه و ۵۸ دقیقه شمالی و عرض جغرافیایی ۳۰ درجه و ۱۵ دقیقه شمالی در فلات مرکزی کشور ایران واقع شده است. در این آزمایش، ۲۱ ژنوتیپ ارزن دمروباہی (جدول ۱) در قالب طرح بلوک کامل تصادفی با دو تکرار به مدت سه سال زراعی در دو سطح تنش و بدون تنش رطوبتی، کشت شدند. در مرحله ظهور کامل گل‌آذین حدود ۱۵ سانتی‌متر از ابتدا و انتهای هر خط به عنوان حاشیه در نظر گرفته شد و از ۷۰ سانتی‌متر باقی مانده نمونه‌برداری انجام شد. در هر اندازه‌گیری ابتدا ۱۰ بوته به صورت تصادفی انتخاب گردید، سپس صفات مورد بررسی اندازه‌گیری شدند. صفات تعداد ساقه بارور، ارتفاع بوته، طول برگ پرچم، عرض برگ پرچم، تعداد برگ، طول گل‌آذین، وزن بذر تک بوته، عملکرد دانه و عملکرد

بیولوژیک پس از برداشت اندازه‌گیری شدند.

شاخص‌های تحمل به خشکی از طریق روابط زیر محاسبه شدند:

$$TOL = Y_p - Y_s \quad (1)$$

$$SI = 1 - \frac{Y_s}{Y_p} \quad (2)$$

$$SSI = \frac{1 - \frac{Y_s}{Y_p}}{SI} \quad (3)$$

$$STI = \frac{Y_p \times Y_s}{(Y_p)^2} \quad (4)$$

$$MP = \frac{(Y_p + Y_s)}{2} \quad (5)$$

$$GMP = \sqrt{Y_p \times Y_s} \quad (6)$$

$$HARM = \frac{2(Y_p \times Y_s)}{Y_p + Y_s} \quad (7)$$

$$\%R = \frac{Y_p - Y_s}{Y_p} \times 100 \quad (8)$$

در این روابط Y_s و Y_p به ترتیب عملکرد یک ژنوتیپ در شرایط تنش و بدون تنش و Y_s و Y_p به ترتیب میانگین عملکرد کل ژنوتیپ‌ها در شرایط تنش و بدون تنش می‌باشد. پس از محاسبه شاخص‌های فوق همبستگی بین مقادیر این

شاخص‌ها و عملکرد دانه و بیولوژیک، در شرایط تنش و بدون تنش خشکی محاسبه شد تا بهترین شاخص‌ها برای شناسایی و انتخاب ژنوتیپ‌های منحصراً به تنش خشکی مشخص شوند.

به منظور استخراج DNA، نمونه‌گیری از برگ‌های تازه ۵ بوته از هر ژنوتیپ صورت گرفت. استخراج DNA از برگ و با روش Saghai Maroof (1984) با کمی تعییر انجام گرفت. برای بررسی کمیت و کیفیت DNA استخراجی از روش اسپکتروفوتومتری و الکتروفورز آگار ۱ درصد استفاده شد. آزمایشات AFLP بر اساس پروتکل Vos *et al.* (1995) با کمی تعییر انجام گرفت. برای انجام این کار از دو آنزیم برushi *MseI* و *EcoRI* استفاده شد. در مرحله تکثیر انتخابی از ۲۰ ترکیب آغازگری استفاده شد که از میان آنها ۱۲ ترکیب که بیشترین چندشکلی را دارا بودند انتخاب شدند (جدول ۲). به منظور مشاهده و تفکیک دقیق تر باندها از دستگاه QIAEXEL DNA استفاده گردید. باندها با نرم افزار Biocalculator محاسبه شدند. به منظور بررسی ساختار جمعیت از نرم افزار Structure 2.3.4 در حالت Admixture با ۱۰۰۰۰ بار Burn-in و ۱۰۰۰۰ بار MCMC استخراج شد که در این نرم افزار بین ۱ تا ۱۰ زیرجمعیت فرضی اولیه در نظر گرفته شد و جهت افزایش دقت برای هر کدام از زیرجمعیت‌ها ۵ تکرار منظور گردید. این روش هر یک از ژنوتیپ‌ها را با یک احتمال به زیرجمعیت‌های فرضی متنسب می‌کند به‌گونه‌ای که در هر زیرجمعیت میزان تعادل پیوستگی حداقل و تعادل مرحله گامتی حداکثر باشد. در نهایت بر اساس K بهینه تعیین شده به روش Evano *et al.* (2005) ماتریس Q (ماتریس ساختار جمعیت) از نتایج ساختار جمعیت حاصل از نرم افزار Tassel استخراج شد. برای مشخص نمودن ارتباط بین نشانگرها با صفات مورفو‌بیولوژیک از نرم افزار 2.1 Structure روش Q+K برای بررسی ارتباط نشانگرها و صفات استفاده شد که هم اطلاعات حاصل از K (ضریب خوبی‌سازی افراد) و هم Q (ضرایب ساختار جمعیت) را با هم تلفیق می‌کند و معلوم شده که این روش در مقایسه با مدل‌های خطی رایج در تجزیه‌های ارتباطی روش بهتری است (Yu *et al.* 2006). این روش در نرم افزار Tassel به صورت مدل خطی (MLM) اجرا شد و نشانگرها مرتبط با صفات مورد مطالعه با توجه به مقادیر P-value کمتر از ۰/۰۱ انتخاب شدند. همچنین شاخص‌های نشانگری با استفاده از برنامه GenAIEx 6.5 طبق فرمول‌های زیر محاسبه شدند. همچنین تجزیه به مولفه‌های اصلی و رسم نمودار دو بعدی نیز با استفاده از این نرم افزار انجام گرفت.

$$PIC = 1 - p^2 - q^2 \quad (9)$$

$$Ne = 1/(p^2 + q^2) \quad (10)$$

$$I = -1 \times (p \times \ln(p) + q \times \ln(q)) \quad (11)$$

$$MI = PIC \times \text{تعداد چند توارهای} \quad (12)$$

جدول ۱. فهرست نمونه‌های ارزن دمروباہی (*Setaria italica*) مورد مطالعه شامل کد و نام (منشا) نمونه‌هاTable 1. Origin of foxtail millet (*Setaria italica*) genotypes used in this study

	کد نام (منشا) رده‌ی Origin Number Code	کد نام (منشا) رده‌ی Origin Number Code	کد نام (منشا) رده‌ی Origin Number Code
مازندران-۲ Mazanderan-2	s97 ۱۵ مشهد-۱ Mashhad-1	s36 ۸ مشهد-۲ Mashhad-2	s6 ۱ شیراز-۱ Shiraz-1
یزد-۲ Yazd-2	s104 ۱۶ مشهد-۳ Mashhad-3	s38 ۹ مشهد-۴ Mashhad-4	s11 ۲ کرمان-۳ Kerman-3
یزد-۳ Yazd-3	s105 ۱۷ مشهد-۵ Mashhad-5	s39 ۱۰ مشهد-۶ Mashhad-6	s12 ۳ کرمان-۴ Kerman-4
اصفهان-۱ Esfahan-1	s123 ۱۸ تبریز-۴ Tabas-4	s55 ۱۱ شیراز-۴ Shiraz-4	s16 ۴ بیرجند-۴ Birjand-4
اصفهان-۲ Esfahan-2	s126 ۱۹ شیراز-۵ Shiraz-5	s60 ۱۲ شیراز-۶ Shiraz-6	s18 ۵ بیرجند-۳ Birjand-3
خوزستان-۲ Khozestan-2	s136 ۲۰ شیراز-۷ Shiraz-7	s66 ۱۳ شیراز-۸ Shiraz-8	s30 ۶ شهرکرد-۲ Shahrekord-2
خوزستان-۴ Khozestan-4	s140 ۲۱ ایلام-۱ Ilam-1	s68 ۱۴ ایلام-۲ Ilam-2	s33 ۷ شهرکرد-۴ Shahrekord-4

نتایج و بحث

برای بررسی ۲۱ نمونه ارزن دمروباہی از ۱۲ ترکیب آغازگری AFLP استفاده شد که در مجموع ۴۴۳ باند قابل تشخیص ایجاد شد. که از این تعداد ۳۱۶ باند چندشکل بودند. تعداد باندهای چندشکل ایجاد شده توسط هر ترکیب آغازگری در دامنه بین ۱۷ برای ترکیب M-CTA/E-AAC و ۴۰ برای ترکیب M-CAA/E-ACC متغیر بود. اکثر نشانگرها چندشکلی بالایی را نشان دادند بهطوری که متوسط درصد چندشکلی برای نشانگرهای مورد بررسی $71/23$ بود. با توجه به درصد چندشکلی بالای ترکیبات آغازگری M-CTA/E-AAC و M-CTG/E-AAC می‌توان انتظار داشت این ترکیبات بتوانند به عنوان یک ابزار قدرتمند در

شناسایی و تفکیک ژنتیک‌های ارزن دمروباہی عمل نمایند. محتوای اطلاعات چندشکلی از ۰/۲۹ تا ۰/۰۰ متغیر بود. محتوای اطلاعات چندشکلی در حقیقت احتمال جداسازی چندشکلی بین دو ژنتیپ تصادفی را توسط یک ترکیب آغازگری اندازه می‌گیرد (Pritchard 2000). متوسط تعداد آلل‌های مؤثر برای آغازگرهای مختلف ۱/۳۸، در دامنه ۱/۴۸ تا ۱/۳۰ به دست آمد. نزدیک بودن این عدد به تعداد آلل واقعی یعنی ۲، دلیلی بر تأثیر خوب آلل‌ها در چندشکلی بالا و برآورد تنوع ژنتیکی است. از میان ترکیب‌های آغازگری مورد بررسی، ترکیب M-CTG/E-ACC و M-CAA/E-ACC بیشترین میزان محتوای اطلاعات چندشکلی، تعداد آلل موثر در هر مکان ژئی و شاخص شانون را نشان دادند. بالا بودن میزان این شاخص‌ها بیانگر قدرت بالای تفکیک و تمایز این ترکیب‌ها می‌باشد. همچنین ترکیب M-CAA/E-AAC کمترین میزان این شاخص‌ها را دارا بود. شاخص نشانگری (MI) نیز از تعداد مکان‌های ژئی چندشکل حاصل از آغازگر در برآورد کارابی و قدرت تفکیک آن‌ها استفاده می‌کند که بیشترین مقدار آن به میزان ۹/۶۱ از ترکیب آغازگری M-CTA/E-AAC حاصل شد. قدرت تفکیک در دامنه بین ۴/۵۴-۹/۶۱ قرار گرفت که میزان بالای آن نشانه کارابی و کفایت این نشانگر در تمایز گروه‌های مختلف مورد بررسی بود.

در مطالعه‌ای بر روی ارزن دمروباہی متعلق به سه کشور چین، کره و پاکستان با استفاده از ۲۸ نشانگر SSR، در مجموع ۲۹۸ آلل با میانگین ۱۰/۶ مشاهده شد. همچنین متوسط اطلاعات چندشکلی برای ژنتیپ‌های متعلق به کره، چین و پاکستان به ترتیب ۰/۶۲۱، ۰/۶۵۳ و ۰/۴۳۸ بدست آمد (Ji Kim et al. 2012). همچنین در بررسی تنوع ژنتیکی گندم دوروم با استفاده از نشانگرها AFLP، مقدار میانگین PIC برابر با ۰/۰۳ اعلام شد (Mardi et al. 2011). مقدادر عملکرد دانه و بیولوژیک در شرایط بدون تنش (Ypi) و در شرایط تنش (Ysi) و شاخص‌های ارزیابی تحمل به خشکی ژنتیپ‌های مورد مطالعه در جدول ۴ و ۵ ارائه شده است. نتایج این پژوهش نشان داد که بر مبنای شاخص تحمل (TOL) و با توجه به عملکرد دانه ژنتیپ‌های S30، S123، S18 و S140 از حساسیت کمتری در برابر خشکی برخوردار بودند و بر اساس شاخص حساسیت به خشکی (SSI) ژنتیپ‌های S30، S123، S18، S140 و S55 دارای کمترین مقدار بوده و در گروه ژنتیپ‌های با حساسیت کمتر به تنش خشکی قرار گرفتند. پایین بودن مقدار شاخص SSI، نشان‌دهنده تحمل بیشتر ژنتیپ‌ها به تنش است. به طور کلی ژنتیپ‌های دارای شاخص حساسیت بیشتر از یک، حساس قلمداد می‌شوند. انتخاب بر اساس این شاخص باعث گزینش ژنتیپ‌هایی با عملکرد نسبتاً پایین در شرایط عادی و عملکرد بالا در شرایط تنش می‌گردد (Fernandez & Reynolds 2000). درصد کاهش عملکرد (%R)، یک شاخص مهم جهت ارزیابی میزان تغییرات عملکرد یک رقم در شرایط تنش نسبت به عملکرد آن در شرایط عدم تنش می‌باشد. در واقع هر چقدر مدت و شدت تنش بیشتر و رقم حساس‌تر باشد درصد این تغییر بیشتر است و هر چقدر این درصد کمتر باشد آن رقم متتحمل تر می‌باشد. نتایج نشان داد که از لحاظ این معیار، ژنتیپ‌های S30، S123، S18، S140 و S55 دارای کمترین درصد کاهش عملکرد (%R) بودند.

جدول ۲. ترکیبات آغازگری مورد استفاده برای تجزیه AFLP در ارزن دمرو باهی

Table 2. Primer combinations used for AFLP analysis in foxtail millet

<i>EcoRI</i>	<i>MseI</i>	شماره
آغازگرهای مربوط به	آغازگرهای مربوط به	
Primer combination <i>EcoRI</i>	Primer combination <i>MseI</i>	Number
<i>EcoRI</i> +AAC	<i>MseI</i> +CAA 1	
<i>EcoRI</i> +AGC	<i>MseI</i> +CAA 2	
<i>EcoRI</i> +ACC	<i>MseI</i> +CAA 3	
<i>EcoRI</i> +AAC	<i>MseI</i> +CTT	4
<i>EcoRI</i> +AGC	<i>MseI</i> +CTT 5	
<i>EcoRI</i> +ACC	<i>MseI</i> +CTT 6	
<i>EcoRI</i> +AAC	<i>MseI</i> +CTG	7
<i>EcoRI</i> +AGC	<i>MseI</i> +CTG 8	
<i>EcoRI</i> +ACC	<i>MseI</i> +CTG 9	
<i>EcoRI</i> +AAC	<i>MseI</i> +CTA 10	
<i>EcoRI</i> +AGC	<i>MseI</i> +CTA 11	
<i>EcoRI</i> +ACC	<i>MseI</i> +CTA 12	

بررسی ژنتیپ‌های موردمطالعه براساس شاخص‌های SSI و R% باتوجه به عملکرد بیولوژیک نشان داد که ژنتیپ‌های S97، S105، S123، S68 و S30 نسبت به سایر ژنتیپ‌ها دارای کمترین میزان این شاخص‌ها می‌باشند. براساس شاخص‌های GMP و MP برای عملکرد دانه ژنتیپ‌های S55، S39، S136، S68، S104، S55، S12، S66 و S17 و S38 و برای عملکرد بیولوژیک ژنتیپ‌های S11، S60، S104، S66، S60، S11 و S17 در برابر تنفس خشکی از تحمل نسبی بالاتری نسبت به سایر ژنتیپ‌ها برخوردار بودند. از سوی دیگر، شاخص STI گروه‌بندی متفاوتی را نسبت به شاخص‌های S18، S123، S30، S18 و S140 نشان داد. بر اساس این شاخص برای عملکرد دانه ژنتیپ‌های S55، S140 و S123، S68 و S105 برای عملکرد بیولوژیک ژنتیپ‌های S97، S123، S68، S104، S30 و S18 بالاترین مقدار را داشتند. بنابراین نسبت به سایر ژنتیپ‌ها برتر بوده و تحمل بیشتری به تنفس خشکی نشان دادند.

جدول ۳. شاخص‌های نشانگری ۱۲ مارکر AFLP در ۲۱ ژنتوتیپ ارزن دمروباها مورد مطالعه

Table 3. Diversity statistic for 12 AFLP primer combinations in 21 foxtail millet genotypes

No. of Effective Alleles	(Ne)	(MI)	Marker	تعداد آلل موثر	شاخص	شاخص	محتوا اطلاعات	تعداد چند	درصد باندهای چند	تعداد کل	تعداد آغازگری
				نشانگری	شانون	(PIC)	چند شکلی	شکل	باند	Primer	
				(I)	Polymorphism	Polymorphic	Polymorphic	Bands	Total	Combination	
1.30	4.54	0.33	0.20		56.09	23		41		M-CAA/E-AAC	
1.38	6.70	0.39	0.24		66.66	28		42		M-CTT/E-AAC	
1.37	7.52	0.38	0.23		86.48	32		37		M-CTG/E-AAC	
1.36	9.61	0.39	0.24		83.33	40		48		M-CTA/E-AAC	
1.32	5.03	0.36	0.22		74.19	23		31		M-CAA/E-AGC	
1.38	6.46	0.38	0.24		67.50	27		40		M-CTT/E-AGC	
1.32	7.03	0.34	0.21		73.91	34		46		M-CTG/E-AGC	
1.43	5.98	0.40	0.26		65.71	23		35		M-CTA/E-AGC	
1.43	4.84	0.45	0.28		58.62	17		29		M-CAA/E-ACC	
1.35	6.18	0.36	0.22		70.00	28		40		M-CTT/E-ACC	
1.48	6.14	0.45	0.29		80.77	21		26		M-CTG/E-ACC	
1.38	4.58	0.36	0.23		71.43	20		21		M-CTA/E-ACC	
16.51	74.60	4.60	2.86		854.72	316		443		Total	
1.38	6.22	0.38	0.24		71.23	26.33		36.9		Mean	

همبستگی بین شاخص‌های تحمل به خشکی و عملکرد می‌تواند به عنوان معیاری مناسب برای انتخاب بهترین ژنتوتیپ‌ها و شاخص‌ها به کار رود. مناسب‌ترین شاخص برای گزینش ارقام متتحمل به تنش، شاخصی است که دارای همبستگی نسبتاً بالایی با عملکرد در هر دو شرایط تنش و بدون تنش باشد. براساس ضرایب همبستگی، ارتباط مثبت و معنی‌داری بین Ys و Yp مشاهده شد که نشان دهنده این است که عملکرد بالا در شرایط بدون تنش منجر به عملکرد بالا در شرایط تنش می‌شود. در مواردی، گزینش براساس عملکرد بالا در شرایط بدون تنش تا حدودی می‌تواند به طور غیرمستقیم موجب افزایش عملکرد در شرایط تنش خشکی شود (Cattivelli et al. 2008). در تحقیقی بر روی گندم، ارتباط مثبت و غیر معنی‌داری بین Ys و Yp مشاهده شد (Anwar et al. 2011). در مطالعه دیگری نتایج نشان داد که در هر دو محیط، همبستگی مثبت و معنی‌داری بین YP با شاخص‌های انتخاب TOL, MP, GMP, STI, SSI وجود دارد. همبستگی YS با STI, GMP, HM و HM نشان

دهنده این است که انتخاب براساس این شاخص‌ها می‌تواند منجر به افزایش عملکرد در شرایط تنفس شود (Majidi et al. 2011). نتایج ضرایب همبستگی نشان داد که همبستگی TOL با عملکرد دانه در شرایط تنفس و بدون تنفس و با عملکرد بیولوژیک در شرایط تنفس غیر معنی‌دار بود (جدول ۶ و ۷).

همبستگی مثبت و معنی‌دار TOL با عملکرد بیولوژیک در شرایط بدون تنفس نشان می‌دهد که انتخاب براساس TOL منجر به کاهش عملکرد بیولوژیک در شرایط آبیاری می‌شود. همچنین همبستگی شاخص‌های SSI، STI و R% با عملکرد دانه در شرایط تنفس معنی‌دار و منفی است. همبستگی منفی این شاخص‌ها نشان‌دهنده این است که با افزایش عملکرد در شرایط تنفس، میزان این شاخص‌ها کاهش می‌یابد. با توجه به نتایج ضرایب همبستگی، شاخص‌های HARM، GMP و MP دارای بیشترین میزان همبستگی با عملکرد دانه و عملکرد بیولوژیک در شرایط تنفس و بدون تنفس بودند. بنابراین می‌توان این شاخص‌ها را به عنوان شاخص‌های برتر در هر دو شرایط تنفس و بدون تنفس در نظر گرفت. زیرا این شاخص‌ها در هر دو محیط دارای همبستگی بالایی با عملکرد می‌باشند و قادرند ژنوتیپ‌های با عملکرد بالا در هر دو شرایط را شناسایی کنند. براساس این نتایج می‌توان ژنوتیپ‌های S104، S55، S136، S68، S39، S17، S12، S66، S33، S60 و S105 برای عملکرد دانه و S11، S66، S60، S1140، S17 و S140 برای عملکرد بیولوژیک را که براساس این شاخص‌ها در رده بالایی قرار داشته باشد به عنوان متحمل‌ترین ژنوتیپ‌ها و ژنوتیپ‌های S126، S60 و S105 برای عملکرد دانه و S97، S123 و S105 برای عملکرد بیولوژیک که کمترین میزان این شاخص‌ها را دارا بودند به عنوان حساس‌ترین ژنوتیپ‌ها در این تحقیق معرفی کرد. در مطالعه‌ای شاخص‌های HARM و GMP به عنوان بهترین شاخص‌ها در تفکیک نمونه‌های ارزن دمروبهای متتحمل به خشکی، معرفی شدند (Nakhaei et al. 2014). همچنین در مطالعه دیگری عملکرد در شرایط بدون تنفس (p_{TOL}) با شاخص‌های STI، GMP، MP، TOL، Farshadfar et al. (2012) ارتباط داشت و نشان داد که این معیارها در شناسایی ارقام با بارده بالا در شرایط رطوبتی مؤثر است.

(2012)

تجزیه به مختصات اصلی یا PCoA¹ یکی از روش‌های مطالعه روابط ژنتیکی است و در آن هر مختصات درصدی از تغییرات کل را توجیه می‌کند. در داده‌های مولکولی ماتریس شباهت یا فاصله بین افراد به عنوان ورودی PCoA استفاده می‌شود. در این مطالعه از تجزیه به مختصات اصلی بر اساس ماتریس فاصله ژنتیکی ۲۱ ژنوتیپ مورد بررسی، برای گروه‌بندی ژنوتیپ‌ها استفاده شد. نتایج حاصل از تجزیه به مختصات اصلی بر پایه ماتریس فاصله اقلیدوسی نشان داد که سه مولفه اول در مجموع ۶۱/۱۳ درصد از کل تغییرات را توجیه نمودند. که سه‌م هر کدام به ترتیب ۲۳/۶۰، ۲۱/۸۶ و ۱۵/۶۶ درصد می‌باشد (جدول ۸). در

¹. Principal Coordinate Analysis

بررسی تنوع ژنتیکی با استفاده از داده‌های مربوط به نشانگرهای DNA، بهترین حالت آن است که نشانگرها توزیع یکنواخت و مناسبی در ژنوم داشته باشند و بتوانند از تمام ژنوم نمونه‌برداری کنند.

جدول ۴. میانگین سه ساله عملکرد دانه ژنوتیپ‌های ارزن دمروباهی و شاخص‌های تنش در شرایط تنش و بدون تنش

Table 4. Three-year mean of grain yield and drought indices of Foxtail millet accessions under drought stress and normal irrigation conditions

%R	HARM	STI	GMP	SSI	MP	TOL	Ys	Yp	Genotype
28.46	1742.87	0.72	1767.38	0.85	1792.22	594.78	1494.83	2089.61	s104
38.09	632.07	0.62	650.32	1.14	669.10	314.83	511.69	826.51	s105
64.46	691.46	0.36	786.03	1.94	893.54	849.86	468.61	1318.47	s11
23.65	1129.17	0.76	1139.46	0.71	1149.85	308.37	995.66	1304.03	s12
14.32	945.17	0.86	947.99	0.43	950.83	146.67	877.49	1024.16	s123
54.71	564.42	0.45	609.26	1.64	657.67	495.29	410.02	905.32	s126
27.64	1251.12	0.72	1267.51	0.83	1284.13	411.78	1078.24	1490.02	s136
15.80	922.52	0.84	925.93	0.47	929.36	159.48	849.62	1009.10	s140
35.80	1084.55	0.64	1111.29	1.08	1138.69	496.60	890.39	1386.99	s17
15.77	924.12	0.84	927.53	0.47	930.94	159.32	851.28	1010.60	s18
11.96	823.84	0.88	825.51	0.36	827.18	105.24	774.56	879.80	s30
55.25	434.34	0.45	469.92	1.66	508.42	388.16	314.34	702.50	s33
43.85	719.80	0.56	749.97	1.32	781.41	438.85	561.99	1000.84	s36
37.54	1003.40	0.62	1031.31	1.13	1060.01	489.90	815.05	1304.96	s38
40.94	1162.46	0.59	1202.99	1.23	1244.93	640.85	924.51	1565.36	s39
19.01	1872.39	0.81	1882.80	0.57	1893.27	397.68	1694.43	2092.11	s55
58.31	705.85	0.42	774.47	1.75	849.76	699.39	500.06	1199.45	s6
55.95	421.17	0.44	457.06	1.68	496.01	385.33	303.35	688.68	s60
27.33	1197.78	0.73	1213.07	0.82	1228.55	388.91	1034.10	1423.01	s66
24.13	1552.83	0.76	1567.65	0.72	1582.62	434.25	1365.49	1799.74	s68
37.42	938.33	0.63	964.22	1.12	990.83	456.15	762.75	1218.90	s97

TOL=شاخص تحمل، SSI=شاخص حساسیت به تنش، STI=شاخص تحمل به تنش، MP=شاخص میانگین حسابی

GMP=میانگین هندسی بهره‌وری، HARM=میانگین هارمونیک YS=عملکرد دانه در شرایط تنش، YP=عملکرد بهره‌وری،

دانه در شرایط نرمال

TOL= Tolerance, SSI= Stress Susceptibility Index, STI= Stress Tolerance Index, MP= Mean Productivity, GMP= Geometric Mean Productivity, HARM= harmonic mean YS= Grain yield under drought conditions, YP= Grain yield under normal conditions

جدول ۵. میانگین سه ساله عملکرد بیولوژیک ژنوتیپ‌های ارزن دمروباھی و شاخص‌های تنش در شرایط
تنش و بدون تنش

Table 5. Three-year mean of biological yield and drought indices of Foxtail millet accessions under drought stress and normal irrigation conditions

%R	HARM	STI	GMP	SSI	MP	TOL	Ys	Yp	Genotype
24.26	14.04	0.76	14.18	1.12	14.32	3.95	12.34	16.29	s104
5.06	4.61	0.95	4.61	0.23	4.62	0.24	4.50	4.74	s105
57.39	10.14	0.43	11.07	2.66	12.10	9.74	7.23	16.96	s11
19.66	12.68	0.80	12.75	0.91	12.83	2.80	11.43	14.23	s12
2.49	7.53	0.98	7.53	0.12	7.53	0.19	7.44	7.63	s123
20.97	6.34	0.79	6.38	0.97	6.43	1.51	5.67	7.18	s126
12.15	10.70	0.88	10.73	0.56	10.75	1.39	10.05	11.44	s136
28.67	8.52	0.71	8.64	1.33	8.77	2.93	7.30	10.23	s140
25.24	10.72	0.75	10.84	1.17	10.95	3.16	9.37	12.53	s17
9.68	11.07	0.90	11.09	0.45	11.10	1.13	10.54	11.67	s18
5.98	10.70	0.94	10.71	0.28	10.71	0.66	10.38	11.04	s30
17.94	6.73	0.82	6.76	0.83	6.80	1.34	6.13	7.47	s33
14.78	7.50	0.85	7.52	0.68	7.55	1.20	6.95	8.15	s36
17.13	10.43	0.83	10.48	0.79	10.53	1.97	9.54	11.51	s38
21.96	11.30	0.78	11.39	1.02	11.47	2.83	10.06	12.89	s39
32.09	7.20	0.68	7.33	1.49	7.47	2.86	6.04	8.90	s55
15.44	10.47	0.85	10.51	0.71	10.55	1.76	9.66	11.43	s6
35.08	11.30	0.65	11.57	1.62	11.84	5.04	9.32	14.36	s60
34.46	9.29	0.66	9.50	1.60	9.71	4.04	7.69	11.73	s66
6.43	7.95	0.94	7.96	0.30	7.96	0.53	7.70	8.23	s68
0.15	9.52	1.00	9.52	0.01	9.52	0.01	9.51	9.52	s97

TOL=شاخص تحمل، SSI=شاخص حساسیت به تنش، STI=شاخص تحمل به تنش، MP=شاخص میانگین حسابی

Bهرهوری، GMP=میانگین هندسی برههوری، HARM=میانگین هارمونیک YS=عملکرد دانه در شرایط تنش، YP=عملکرد

دانه در شرایط نرمال

TOL= Tolerance, SSI= Stress Susceptibility Index, STI= Stress Tolerance Index, MP= Mean Productivity, GMP= Geometric Mean Productivity, HARM= harmonic mean YS= Grain yield under drought conditions, YP= Grain yield under normal conditions

بنابراین در صورتی که نشانگرها از بخش‌های مختلف ژنوم انتخاب شوند و همبستگی آنها کم باشد تعداد مؤلفه‌های

بیشتری برای توجیه کل تغییرات لازم است. اطلاعات بدست آمده از تجزیه به مختصات اصلی نشان دهنده این مطلب است که

ترکیبات آغازگری AFLP استفاده شده در این تحقیق پراکندگی نسبتاً خوبی در سطح ژنوم دارند. شکل ۱ نشان دهنده توزیع و

پرآکنش ژنتیک‌ها براساس دو مولفه اول و دوم است. تجمع افراد در یک نقطه از پلات نشان دهنده تشابه ژنتیکی آنهاست. به منظور بررسی ارتباط بین نشانگرهای مولکولی و شاخص‌های تحمل به خشکی، ساختار جمعیت بر اساس داده‌های حاصل از نشانگرهای مولکولی با استفاده از روش غیر پارامتری ارائه شده توسط اوونو و همکاران (Evanno et al. 2005) بررسی شد.

جدول ۶. همبستگی شاخص‌های تحمل به خشکی و عملکرد دانه در شرایط تنفس (Ys) و عدم تنفس خشکی (Yp) در ژنتیک‌های ارزن دمروباوه

Table 6. Correlation coefficient between tolerance and sensitivity indices and grain yield of Foxtail millet accessions under drought stress and normal irrigation treatments

%R	HARM	STI	GMP	SSI	MP	TOL	Ys	Yp	1	Yp
							1	0.88**	Ys	
						1	-0.08 ns	0.38 ns	TOL	
					1	0.16 ns	0.97**	0.97**	MP	
				1	-0.49*	0.74**	-0.68**	-0.28 ns	SSI	
			1	-0.54*	0.99**	0.10 ns	0.98**	0.96**	GMP	
		1	0.54*	-0.99**	0.49*	-0.74**	0.68**	0.29 ns	STI	
	1	0.58**	0.99**	-0.58**	0.99**	0.05 ns	0.99**	0.94**	HARM	
1	-0.58**	-0.99**	-0.54*	0.99**	-0.48*	0.74**	-0.68**	-0.28 ns	%R	

* و ** به ترتیب غیر معنی‌دار و معنی‌دار در سطح احتمال ۵ و ۱ درصد

جدول ۷. همبستگی شاخص‌های تحمل به خشکی و عملکرد بیولوژیک در شرایط تنفس (Ys) و عدم تنفس خشکی (Yp) در ژنوتیپ‌های ارزن دمروباهی

Table 7. Correlation coefficient between tolerance and sensitivity indices and biological yield of Foxtail millet accessions under drought stress and normal irrigation treatments

^{ns}، * و ** به ترتیب غیر معنی دار و معنی دار در سطح احتمال ۵ و ۱ درصد

شاخص ثبیت (F_{ST}) بین ۶ زیر جمعیت این مطالعه به ترتیب برابر با 0.001 , 0.0706 , 0.0597 , 0.0451 , 0.0017 و 0.0893 بود و درنهایت ماتریس Q موردنیاز برای استفاده در تجزیه ارتباطی تشکیل شد. در تجزیه ارتباطی، رابطه بین ژنتیک و فنوتیپ گیاه مستقیماً برای شناسایی نواحی کروموزومی دخیل در کنترل صفت با استفاده از نامتعادل بودن پیوستگی موجود بررسی می‌شود. در این مطالعه برای بررسی ارتباط بین نشانگر و صفات دو روش مدل خطی کلی (GLM) و مدل خطی مختلط (MLM) بود.

¹. General linear model

مورداستفاده قرار گرفتند. روش MLM، اطلاعات حاصل از ماتریس K (ضریب خویشاوندی افراد) و ماتریس Q (ضرایب ساختار جمعیت) را با هم تلفیق می‌کند و بر اساس اطلاعات ماتریس Q، ماتریس K، اطلاعات فنوتیپی و اطلاعات نشانگرها، همبستگی نشانگرها و صفات را در یک مدل رگرسیونی چندگانه بررسی می‌کند. اما در روش GLM فقط ماتریس Q و اطلاعات فنوتیپی و نشانگرها مورد استفاده قرار می‌گیرد. بنابراین روش MLM در مقایسه با مدل‌های خطی رایج در تجزیه‌ی ارتباطی روش برتری است (Yu et al. 2006).

روش MLM و GLM به طور کلی در مورد ژنتیپ‌های مورد بررسی به ترتیب ۴۵ و ۲۰ نشانگر مرتبط با عملکرد دانه و شاخص‌های تحمل به تنش و ۲۶ و ۱۳ نشانگر مرتبط با عملکرد بیولوژیک و شاخص‌های تحمل به تنش را شناسایی کردند که این نشان‌دهنده کاهش تعداد نشانگرها مرتبط با صفات مورد نظر، در مدل MLM نسبت به مدل GLM است. این امر می‌تواند ناشی از توانایی این مدل در شناسایی و حذف نشانگرهایی با همبستگی کاذب باشد. با توجه به پایداری نتایج در مدل MLM، در این پژوهش، نتایج این مدل در ارتباط با صفات مختلف مورد بحث قرار می‌گیرد. لازم به ذکر است که در این پژوهش حداقل سطح معنی‌داری برای تجزیه ارتباطی بین صفات و نشانگرها یک درصد ($P < 0.01$) در نظر گرفته شد. توزیع نشانگرها به وسیله میزان ضریب تبیین R^2 نشانگر در مدل رگرسیونی نیز موردنظری قرار گرفت. دامنه تغییرات R^2 نشانگرها با توجه به عملکرد دانه بین ۰/۲۹-۰/۱۸ و با توجه به عملکرد بیولوژیک بین ۰/۳۴-۰/۲۱٪ متغیر و در سطح ۱٪ معنی‌دار بود (جدول ۷). نتایج تجزیه ارتباطی با توجه به عملکرد دانه نشان داد، شاخص TOL با ۵ نشانگر ارتباط معنی‌دار دارد که این نشانگرها با سایر شاخص‌ها ارتباطی را نشان ندادند نشانگر M-CAA/E-AAC تنها نشانگری بود که در جایگاه کروموزومی شماره ۱ با شاخص‌های SSI، ارتباطی را نشان داشت. STI و R٪ در ارتباط بود و با سایر شاخص‌ها ارتباطی نداشت.

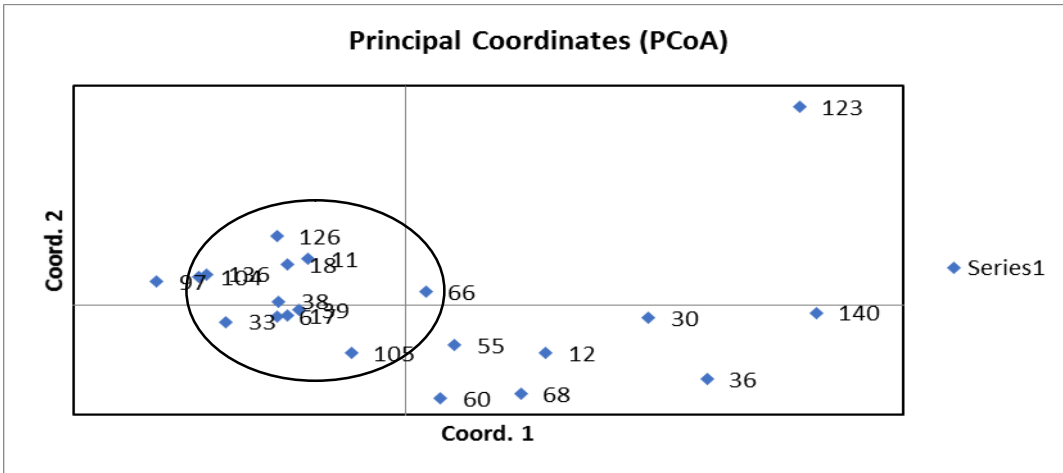
نتایج براساس عملکرد بیولوژیک نیز ارتباط بین نشانگرها M-CTG/E-ACC در جایگاه کروموزومی شماره ۲۹۵ و M-CTT/E-AAC در جایگاه کروموزومی شماره ۴۳ را تنها با شاخص‌های TOL، SSI، STI و R٪ نشان داد. بنابراین می‌توان گفت این نشانگرها مختص به این شاخص‌ها می‌باشند. همچنین براساس عملکرد دانه، نشانگرها M-CAA/E-AAC در جایگاه کروموزومی شماره ۱۴ و M-CTG/E-ACC در جایگاه کروموزومی شماره ۲۸۳ و براساس عملکرد بیولوژیک، نشانگر همانگونه که نتایج نشان داد برخی از نشانگرها با چندین شاخص در ارتباط بودند که این نتیجه با توجه به همبستگی بین شاخص‌ها دور از انتظار نبود.

¹. Mixed linear model

جدول ۸. تجزیه به مختصات اصلی داده‌های AFLP در ژنوتیپ‌های ارزن دمروبا

Table 8. Principal component analysis of foxtail millet based on AFLP marker

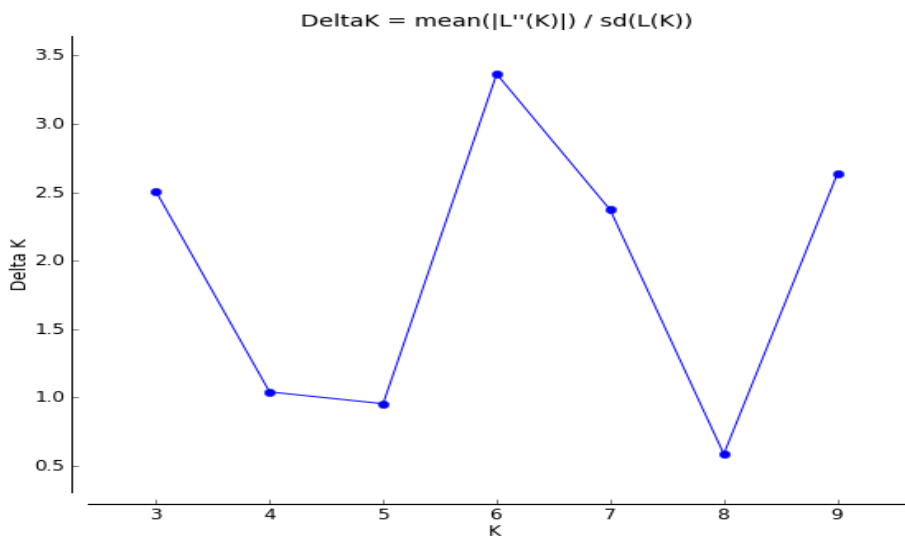
درصد تجمعی واریانس Percentage of Cumulative variance	درصد واریانس مربوطه Percentage of variance	مولفه Factor
23.60	23.60	PC1
45.47	21.86	PC2
61.13	15.66	PC3



شکل ۱. نمایش دو بعدی تجزیه مؤلفه اصلی بر اساس مؤلفه اول و دوم داده‌های نشانگر AFLP

Figure 1. Biplot based on the first two dimensions of the principal component analysis (PCA)

با توجه به مطابقت این نتایج با نتایج ضرایب همبستگی می‌توان این نشانگرها را با صفات تحمل به خشکی مرتبط دانست. احتمالاً محل قرارگیری این نشانگرها در داخل ژنوم مناطقی است که کنترل کننده ژن‌های مربوط به صفات تحمل به خشکی در ارزن می‌باشد. به نظر می‌رسد که نشانگرها مورد بررسی توансند ژنوتیپ‌های متتحمل به خشکی را از سایر ژنوتیپ‌ها تفکیک کنند. بنابراین می‌توان از این نشانگرها به عنوان معیار گزینش برای تحمل به خشکی استفاده کرد. ارزیابی ژرمپلاسم یک گونه گیاهی با استفاده از نشانگرها مولکولی ابزار ارزشمندی برای پیش‌بینی سایر ژنوتیپ‌های ژرمپلاسم و شناسایی ژنوتیپ‌های مطلوب حتی در شرایط آزمایشگاهی خواهد بود. در نتیجه می‌توان از این نشانگرها برای بررسی تحمل به خشکی ژنوتیپ‌ها در برنامه‌های اصلاحی استفاده نمود.



شکل ۲. نمودار نتایج روش اوانو در انتخاب K بهینه

Figure 2. Delta K values from the method by Evanno, et al (2005)

نتیجه‌گیری: براساس نتایج این پژوهش، چند شکلی بالای ترکیب‌های آغازگری AFLP نشان داد که نشانگرهای M-, M-CTT/E-AAC ابزاری مناسب جهت تمایز ژنوتیپ‌های ارزن دمروباہی بوده و ترکیب‌های آغازگری M-CAA/E-AAC و M-CTG/E-AGC، M-CTA/E-AAC، M-CTG/E-ACC، CTT/E-ACC مفیدترین ترکیب‌ها در تمایزیابی ژنوتیپ‌های ارزن دمروباہی از نظر تحمل به خشکی بودند. همچنین نتایج نشان داد که نشانگر AFLP برای تجزیه و تحلیل ساختار جمعیت مفید بوده و تجزیه ارتباطی با در نظر گرفتن ساختار جمعیت و روابط خویشاوندی در ۲۱ ژنوتیپ ارزن دمروباہی مورد مطالعه، نشان داد که برخی از آغازگرها مورد بررسی با شاخص‌های نشانگری GMP، HARM و MP در ارتباط بودند. با توجه به نتایج ضرایب همبستگی، می‌توان شاخص‌های نشانگری GMP، HARM و MP را به عنوان بهترین شاخص‌ها در تفکیک نمونه‌های ارزن دمروباہی متحمل به خشکی معرفی کرد زیرا این شاخص‌ها به دلیل داشتن همبستگی بالا با عملکرد در هر دو شرایط تنش و بدون تنش، قادر به انتخاب ژنوتیپ‌هایی با پتانسیل عملکرد بالا می‌باشند. بنابراین می‌توان از نشانگرهای مولکولی مربوط به این شاخص‌ها برای بررسی تحمل به خشکی سایر ژنوتیپ‌ها در برنامه‌های اصلاحی آینده استفاده نمود. همچنین ژنوتیپ‌هایی با پتانسیل عملکرد بالا و متحمل به تنش خشکی معرفی شده در این پژوهش، می‌توانند به عنوان ژنوتیپ‌های ارزن در مناطق مختلف می‌توانند، نتایج به دست آمده از این تحقیق را کامل تر نمایند.

جدول ۹. تجزیه ارتباطی برای شاخص‌های تحمل به خشکی با توجه به عملکرد بیولوژیک در ۲۱ ژنوتیپ

ارزن دمروباھی براساس مدل MLM

Table 9. Association analysis for tolerance and sensitivity indices and biological yield in 21 foxtail millet genotypes based on MLM model

R ²	P value	شانگر Marker	صفت Trait
0.2287	0.0058	M-CTA/E-ACC-308	Ys
0.2123	0.0085	M-CTT/E-ACC-264	
0.3494	0.0004	M-CTG/E-ACC-295	TOL
0.2913	0.0019	M-CTT/E-AAC-43	
0.2403	0.005	M-CTT/E-ACC-264	MP
0.3235	0.0009	M-CTG/E-ACC-295	SSI
0.272	0.0032	M-CTT/E-AAC-43	
0.2389	0.005	M-CTT/E-ACC-264	GMP
0.3162	0.0011	M-CTG/E-ACC-295	STI
0.2732	0.0031	M-CTT/E-AAC-43	
0.2343	0.0055	M-CTT/E-ACC-264	HARM
0.3224	0.0009	M-CTG/E-ACC-295	%R
0.2712	0.0032	M-CTT/E-AAC-43	

جدول ۱۰. تجزیه ارتباطی برای شاخص‌های تحمل به خشکی با توجه به عملکرد دانه در ۲۱ ژنوتیپ ارزن
دموباہی براساس مدل MLM

Table 10. Association analysis for tolerance and sensitivity indices and seed yield in 21 foxtail millet genotypes based on MLM model

R ²	P value	نشارگر Marker	صفت Trait
0.2642	0.0036	M-CAA/E-AAC-14	Yp
0.2389	0.0063	M-CTG/E-ACC-283	
0.2912	0.0019	M-CAA/E-AAC-14	Ys
0.2763	0.0027	M-CTG/E-ACC-283	
0.2364	0.0065	M-CTA/E-AAC-91	
0.2097	0.0049	M-CTT/E-AAC-52	
0.2027	0.0059	M-CTG/E-AAC-79	
0.1941	0.0073	M-CTT/E-AGC-175	TOL
0.1941	0.0073	M-CTT/E-ACC-267	
0.1897	0.0082	M-CTG/E-AGC-197	
0.2938	0.0019	M-CAA/E-AAC-14	MP
0.272	0.0032	M-CTG/E-ACC-283	
0.2171	0.0054	M-CAA/E-AAC-1	SSI
0.2921	0.002	M-CAA/E-AAC-14	GMP
0.2727	0.0031	M-CTG/E-ACC-283	
0.2162	0.0055	M-CAA/E-AAC-1	STI
0.2891	0.0021	M-CAA/E-AAC-14	
0.2718	0.0031	M-CTG/E-ACC-283	HARM
0.2199	0.0095	M-CTA/E-AAC-91	
0.2168	0.0054	M-CAA/E-AAC-1	%R

منابع

- حیدری راویه، صبوری عاطفه، صبوری حسین و همکاران (۱۳۹۳) شناسایی نشانگرهای AFLP مرتبط با صفات تحمل به تنش غرقابی در جو. مجله بیوتکنولوژی کشاورزی ۴۱-۶۰، ۲.
- کریم کشته رضا، صبوری حسین (۱۳۹۷) ارزیابی کمی و مولکولی تحمل به تنش خشکی ژنتیپ‌های برنج. پژوهشنامه اصلاح گیاهان زراعی ۱۹۵-۲۰۶، ۲۶.
- نخعی آزیتا، عباسی محمدرضا، آزمجو الیاس، آذری علی (۱۳۹۳) ارزیابی تحمل تنش خشکی انتهایی فصل در نمونه‌های ارزن دمروباہی (*Setaria Italica*). مجله علوم زراعی ایران ۱۶، ۳۸-۲۵.
- یاقوتی پور آینتا، فرشادفر عزت الله، سعیدی محسن (۱۳۹۵) تجزیه ارتباط برای شاخص‌های تحمل به خشکی در گندم نان با استفاده از نشانگرهای ISSR. بهنژادی گیاهان زراعی و باغی ۱، ۱۹۹-۱۸۳.

References

- Anwar J, Subhani GM, Hussain M et al. (2011) Drought tolerance indices and their correlation with yield in exotic wheat genotypes. *Pak J Bot* 43, 527-1530.
- Bouslama M, Schapaugh WT (1984) Stress tolerance in soybean. I: Evaluation of three screening techniques for heat and drought tolerance. *Crop Sci* 24, 933-937.
- Cattivelli L, Rizza F, Badeck FW et al. (2008) Drought tolerance improvement in crop plants: An integrated view from breeding to genomics. *Field Crop Res* 115, 1-14.
- Evanno G, Regnaut S, Goudet J (2005) Detecting the number of clusters of individuals using the software STRUCTURE: a simulation study. *Mol Ecol* 14, 2611-2620.
- Farshadfar E, Jamshidi B, Aghaee M (2012) Biplot analysis of drought tolerance indicators in bread wheat lanraces of Iran. *Int J Agr Crop Sci* 4, 226-233.
- Fernandez GCJ (1992) Effective selection criteria for assessing plant stress tolerance, In: Adaptation of food crop temperature and water stress. Proceeding of 4th international symposium. Ed. Kus, E.G. Asian Vegetable Research and Department Center, Shanhua, Taiwan, pp. 257-270.
- Fernandez RJ, Reynolds JF, (2000) Potential growth and drought tolerance of eight desert grasses. *J Ecologia* 123, 90-98.
- Gavuzzi P, Rizza F, Palumbo M et al. (1997) Evaluation of field and laboratory predictors of drought and heat tolerance in winter cereals. *Can J Plant Sci* 77, 523-531.

- Gebhardt C, Ballvora A, Walkemeier B et al. (2004) Assessing genetic potential in germplasm collections of crop plants by marker-trait association: A case study for potatoes with quantitative variation of resistance to late blight and maturity type. Mol Breed 13, 93-102.
- Heydari R, Sabouri A, Sabouri H et al. (2013) Identification of AFLP markers related to tolerance to flooding stress in barley. J Agric Biotech 2, 41-60.
- Ji Kim E, Jin Sa K, Park KC, Kyong Lee J (2012) Study of genetic diversity and relationships among accessions of foxtail millet [*Setaria italica* (L.) P. Beauv.] in Korea, China, and Pakistan using SSR markers. Genes Genom 34, 529–538.
- Jia G, Huang X, Zhi H et al. (2013) A haplotype map of genomic variations and genome-wide association studies of agronomic traits in foxtail millet (*Setaria italica*). Nat Genet 45, 957-961.
- Karam D, Westra P, Nissen SJ et al. (2004) Diversidade genética entre biótipos de proso millet (*Panicum miliaceum*) revelada pela técnica de AFLP. Planta Daninha 22, 167-174.
- Karim Koshte R, Sabouri H (2017) Relationship between ISSR and SSR markers indicators of drought tolerance in rice genotypes. J Crop Breed 26, 195-206 (in Persian).
- Kusaka M, Lalusin AG, Fujimura T (2005) The maintenance of growth and turgor in pearl millet (*Pennisetum glaucum* L. Leeke) cultivars with different root structures and osmo-regulation under drought stress. Plant Sci 168, 1-14.
- Lata C, Sarita JH, Prasad M, Sreenivasulu N (2011) Differential antioxidative responses to dehydration-induced oxidative stress in core set of foxtail millet cultivars. Protoplasma 248, 817-828.
- Majidi M, Tavakoli V, Mirlohi A, Sabzalian MR (2011) Wild safflower species (*Carthamus oxyacanthus* Bieb.): A possible source of drought tolerance for arid environments. Aust J Crop Sci 5, 1055-1063.
- Mardi M, Naghavi MR, Pirseyedi SM et al. (2011) Comparative assessment of SSAP, AFLP and SSR markers for evaluation of genetic diversity of durum wheat (*Triticum turgidum* L. var. durum). J Agr Sci Tech 13, 905-920.
- Mohammadi SA, Prasanna BM (2003) Analysis of genetic diversity in crop plant salient statistical tools and considerations. Crop Sci 43, 1235-1248.
- Nakhaei A, Abbasi MR, Arazmjoo E, Azari MA (2014) Evaluation of terminal drought tolerance in Foxtail millet (*Setaria italica*) accessions. Iran J Crop Sci 16, 25-38. (In Persian).

- Pritchard JK, Stephens M, Donnelly P (2000) Inference of population structure using multilocus genotype data. *J. Genet* 155, 945-959.
- Rao NK (2004) Plant genetic resources: Advancing conservation use through biotechnology. *Afr J Biotechnol* 3, 136-145.
- Saghai Maroof MA, Biyashev Yang GP, Zhang Q, Allard RW (1984) Extraordinarily polymorphic microsatellite DNA in barely: species diversity, chromosomal location, population dynamics. *Proc Natl Acad Sci U S A* 91, 5466-5470.
- Upadhyaya HD, Ravishankar CR, Narasimhudu Y et al. (2011) Identification of trait-specific germplasm and developing a mini core collection for efficient use of foxtail millet genetic resources in crop improvement. *Field Crops Res* 124, 459-467.
- Vitkauskaite G, Venskaityte L (2011) Differences between C3 (*Hordeum vulgare* L.) and C4 (*Panicum miliaceum* L.) plants with respect to their resistance to water deficit. *J. Agric* 98, 349-356.
- Vos P, Hogers R, Bleeker M et al. (1995) AFLP: A new technique for DNA fingerprinting. *Nucleic Acids Res* 23, 4407-4414.
- Yaghoutipour A, Farshadfar E, Saeidi M (2019) Association analysis for drought tolerance indices in bread wheat using ISSR. *Breed Agro Hort Crop* 1, 183-199 (in Persian).
- Yu J, Pressoir G, Briggs WH et al. (2006) A unified mixed-model method for association mapping that accounts for multiple levels of relatedness. *Nat genet* 38, 203-208.

